

Journal of Natural Environmental Hazards, Vol.12, Issue 38, December 2023

## Assessing the risk of mortality caused by heat stress in Iran's metropolises

Faegeh Almasi<sup>1</sup>, Manuchehr Farajzadeh<sup>2\*</sup>, Yousef Ghavidel Rahimi<sup>3</sup>

1. PhD Student of Climatology, Tarbiat Modares University, Tehran , Iran

2. Corresponding Author, Professor of Climatology, Tarbiat Modares University, Tehran, Iran

3. Associate Professor of Climatology, Tarbiat Modares University, Tehran, Iran

---

### Article Info

### ABSTRACT

**Article type:**

Research Article

**Article history:**

Received: 27 May 2023

Revised: 21 June 2023

Accepted: 16 July 2023

**Keywords:**

Heat stress, Mortality,  
Summer, UTCI index, Iran.

Thermal stress is one of the risk factors for mortality. The research aims to identify the potential of the Universal Thermal Climate Index (UTCI) as a heat-related health risk indicator in Iran. Using 32 years of daily meteorological data, UTCI values in different percentiles were computed to identify excess mortality periods in five cities of Tehran, Ahvaz, Mashhad, Shiraz, and Isfahan in the summer season. Frequency patterns of summer UTCI index classes were identified. Threshold percentiles of minimum and maximum index values were extracted for each station. The results of the research showed that the summer values of the index vary between -1.9 and 55.4 degrees Celsius. In total, 18.08% of the night temperature (minimum temperature of thermal climate index) and 97.64% of the daily temperature (maximum temperature of thermal climate index) of the studied days were associated with heat stress. During the studied period, 10% of summer days are in the conditions related to the maximum UTCI index values in three classes of strong, very strong, and severe heat stress. Correlation with mortality data from 5 stations showed that the relationship between UTCI and the number of deaths depends on the bioclimate of the station and that the number of deaths increases in very strong and severe heat stress conditions, that is when UTCI Above 38 and 46 degrees Celsius. The fitting of the categories of heat stress on the number of deaths with the trend of the LOWESS function showed that the distribution of deaths according to the UTCI index had a diverse nature and was seen as V-, U-, and J-shapes. The increase in mortality depends on the levels of heat stress, and at 35 degrees Celsius and above, i.e. entering the moderate heat stress category of the UTCI index, an increase in mortality is evident.

---

**Cite this article:** Almasi, F., Farajzadeh, M., & Ghavidel Rahimi, Y. (2023). Assessing the risk of mortality caused by heat stress in Iran's metropolises. Journal of Natural Environmental Hazards, 12(38), 131-148.  
DOI: 10.22111/jneh.2023.45769.1963



© Manuchehr Farajzadeh.

DOI: 10.22111/jneh.2023.45769.1963

Publisher: University of Sistan and Baluchestan

---

\* Corresponding Author Email: farajzam@modares.ac.ir

محله علمی پژوهشی مخاطرات محیط طبیعی، دوره ۱۲، شماره ۳۸، دی ۱۴۰۲

## ارزیابی ریسک مرگ و میر ناشی از تنفس گرمایی در کلانشهرهای ایران

فائقه الماسی<sup>۱</sup>، منوچهر فرج زاده<sup>۲\*</sup>، یوسف قویدل رحیمی<sup>۳</sup>

۱. دانشجوی دکتری آب و هواشناسی، دانشگاه تربیت مدرس تهران
۲. استاد دانشگاه تربیت مدرس تهران (نویسنده مسئول)
۳. دانشیار دانشگاه تربیت مدرس تهران

### اطلاعات مقاله

نوع مقاله: مقاله پژوهشی

تاریخ دریافت: ۱۴۰۲/۰۳/۰۶

تاریخ ویرایش: ۱۴۰۲/۰۳/۳۱

تاریخ پذیرش: ۱۴۰۲/۰۴/۲۵

#### واژه‌های کلیدی:

تنفس گرمایی، مرگ و میر،  
تابستان، شاخص UTCI.

ایران.

تنفس های گرمایی یکی از عوامل خطر در مرگ و میر به شمار می رود. هدف پژوهش، شناخت پتانسیل شاخص جهانی آب و هوای حرارتی (UTCI) به عنوان شاخص خطر سلامت مرتبط با گرما در ایران است. با استفاده از ۳۲ سال داده های روزانه هواشناسی، مقادیر UTCI در صدک های مختلف برای شناسایی دوره های مرگ و میر بیش از حد در پنج شهر تهران، اهواز، مشهد، شیراز و اصفهان در فصل تابستان تعریف شد. الگوهای فراوانی طبقات شاخص UTCI تابستانه شناسایی شد. آستانه صدک های مقادیر حداقل و حداکثر شاخص برای هر ایستگاه استخراج شد. نتایج پژوهش نشان داد مقادیر تابستانی شاخص UTCI و درجه سانتیگراد متغیر است. در مجموع ۱۸/۰٪ دمای شباهن (دمای حداقل شاخص اقلیم حرارتی) روزهای مورد مطالعه همراه با تنفس گرمایی بوده است. در طول دوره مطالعه ۱۰ درصد روزهای تابستان در شرایط مرتبط با مقادیر جداکثر شاخص UTCI در سه کلاس تنفس گرمایی قوی، بسیار قوی و شدید قرار دارند. همبستگی با داده های مرگ و میر از ۵ ایستگاه نشان داد که رابطه بین UTCI و تعداد مرگ و میر بستگی به آب و هوای زیستی ایستگاه دارد و تعداد مرگ و میر در شرایط تنفس گرمایی بسیار قوی و شدید افزایش می یابد، یعنی زمانی که UTCI بالای ۳۸ و ۴۶ درجه سیلیسیوس است. برآش رده های تنفس گرمایی بر تعداد مرگ و میرها با روند تابع LOWESS نشان داد پراکندگی مرگ و میر در راستای شاخص UTCI ماهیت متنوعی داشته و بصورت اشکال بالابر-V، U-، J- دیده شد. میزان افزایش مرگ و میر بستگی به سطوح تنفس گرمایی دارد و در حدود ۳۵ درجه سیلیسیوس و بالاتر، یعنی ورود به محدوده رده تنفس گرمایی متوسط شاخص UTCI، افزایش مرگ و میر مشهود است.

استناد: الماسی، فائقه، فرج زاده، منوچهر، قویدل رحیمی، یوسف. (۱۴۰۲). ارزیابی ریسک مرگ و میر ناشی از تنفس گرمایی در کلانشهرهای ایران.

DOI: 10.22111/jneh.2023.45769.1963



© فائقه الماسی، منوچهر فرج زاده، یوسف قویدل رحیمی.

ناشر: دانشگاه سیستان و بلوچستان

## مقدمه

تغییرات آب و هوايی به عنوان بزرگترین تهدید جهانی سلامت در قرن ۲۱ توصیف شده است و زندگی میلیاردها انسان را درمعرض خطر بیشتری قرار می دهد (کاستلو،<sup>۱</sup> ۲۰۰۹). در نتیجه تغییرات اقلیمی، میانگین دمای هوا در سطح جهانی طی ۱۰۰ ساله گذشته روند افزایشی را در فراوانی، شدت و مدت زمان وقایع شدید گرمایی یا امواج گرما نشان می دهد (پرکینست،<sup>۲</sup> ۲۰۱۲). شرایط محیطی که بطور بالقوه برای سلامتی انسان مضر باشد هم در محیط های داخلی و هم خارجی رخ می دهند (مک گرگور<sup>۳</sup> و همکاران، ۲۰۱۵). در محیط های داخلی مانند منازل و محیط های اداری آسیب های ناشی از امواج گرما عمدتاً با دما، رطوبت و تابش حرارتی نمایش داده می شوند در محیط های آزاد، دیگر عناصر اقیمي مانند باد و تابش مستقيم نيز در نظر گرفته می شود. عنوان مثال ترکيب درجه حرارت بالا و رطوبت، بدون تهویه و نور مستقيم خورشید بارگرمایی به نام "تنش گرمایی" ايجاد می كند که می تواند توانايی بدن انسان را در حفظ دمای تعادل در محدوده‌ی عملکرد مطلوب فيزيولوژيکی تضعيف نماید (مک گرگور و نوس،<sup>۴</sup> ۲۰۰۱). رطوبت زياد و وزش باد کم نيز تنش حرارتی برای افراد را نيز تشدید می كند (رابينسون،<sup>۵</sup> ۲۰۱۸). ارتباط بين فيزيولوژي بدن انسان و پاسخ سيسitem قلب و عروق به گرما بسيار بحث برانگيز شده است. از آنجايي که دمای بدن انسان در طول زندگی ثابت و در حدود ۳۷ درجه سانتيگراد است آسایش دمایي زمانی تأمین می گردد که سامانه تنظيم حرارتی بدن، دما را ثابت نگه دارد و اين امر هنگامی امكان پذير است که توازن دمایي بدن يعني دفع و جذب گرمای بدن متعادل بماند. تأثير دما بر سلامت انسان متاثر از بقیه متغير های جوی و نيز شرایط جسمی و روانی افراد است (حيدري<sup>۶</sup> و همکاران، ۲۰۱۷). اين اثرات احتمالاً در نواحي مختلف و براساس حساسيت پذيری افراد جامعه، مقدار و طول مدت مواجهه و همچنين توانايی افراد در برقراری سازش با تغیيرات دمایي متفاوت خواهد بود. چنانچه افزایش دمایي همراه با افزایش رطوبت محیط برای چند روز متوالی اتفاق بیفت (موج گرمایي) و يا دمای شب هنگام کاهش محسوسی پیدا نکند، مواجهه با گرمای فوق العاده کشنده حتمی خواهد بود (حيدري و همکاران، ۲۰۱۵). با افزایش تنش گرمایي، مکانيسم حرارتی انسان به خطر می افتد بدن گرمای بیشتری را نسبت به اتلاف گرماء، تولید يا جذب می نماید و دمای داخلی شروع به افزایش می کند که باعث ناراحتی، اختلالات سيسitemی در بدن و در نهايیت مرگ می شود (هاونيث<sup>۷</sup> و فيلا،<sup>۸</sup> ۲۰۱۶). تنش گرمایي بالا مرگ و مير قلبی و عروقی و تنفسی را تشدید می کند که به مراتب بيش از مرگ و مير ناشی از سكته های مغزی است (باسو<sup>۹</sup> و سامت،<sup>۱۰</sup> ۲۰۰۲ و باسيني<sup>۱۱</sup> و همکاران،<sup>۱۲</sup> ۲۰۰۸). با اين حال روابط بين دما و سلامتی نه يكناخت و نه قابل پيش بينی است بلکه تحت تأثير تعدادی از عوامل پيچيده و متقابل از جمله بيولوژيکی، محیطی، پزشکی، اجتماعی و جغرافیایی است (کلينبرگ<sup>۱۲</sup>، ۲۰۰۲). بنابراین اگرچه دمای زياد به عنوان يك رويداد هواشناختی در نظر گرفته می شود ولی نمی توان آن را بدون

<sup>1</sup> costello

<sup>2</sup> perkinst

<sup>3</sup> McGregor

<sup>4</sup> Venos

<sup>5</sup> Robinson

<sup>6</sup> Heidari

<sup>7</sup> Havenith

<sup>8</sup> Fiala

<sup>9</sup> Basu

<sup>10</sup> Samet

<sup>11</sup> Baccini

<sup>12</sup> Klineberg

توجه به اثراتش بروی جنبه های مختلف زندگی انسان مورد ارزیابی قرار داد (تانگ<sup>۱</sup> و همکاران، ۲۰۱۰). از سوی دیگر عملکرد افراد به مقدار زیاد تابع عوامل محیط زیست آنان است (کاهایا<sup>۲</sup>، ۲۰۰۷ و هنکوک<sup>۳</sup> و همکاران، ۲۰۰۷). آستانه های گرمایی می تواند با روش ها و شاخص های مختلف محاسبه گردد (چانگن<sup>۴</sup>، ۱۹۹۸). وجود آستانه های گرمایی مختلف در تعاریف گوناگون، گویای این مطلب است که هر چند گرما یک پدیده ی هواشناسی است اما آستانه ی دمایی آن می تواند متأثر از ویژگیهای مکانی هر منطقه باشد بطوریکه در هرمنطقه جغرافیایی براساس ویژگیهای محیطی و اقلیمی آن، می توان آستانه ی دمایی معینی تعریف کرد (اسماعیل نژاد و همکاران، ۱۳۹۲). در سطح جهان مطالعات زیادی در زمینه شناسایی و اثرات گرما به ویژه روی سلامت انسان صورت گرفته است (کمبل<sup>۵</sup> و همکاران، ۲۰۱۸، دی ناپولی<sup>۶</sup> و همکاران، ۲۰۱۸، ناپولی و همکاران، ۲۰۱۹، موریچ<sup>۷</sup>، ۲۰۱۷، واگنر<sup>۸</sup> و همکاران، ۲۰۱۸) و به این نتیجه رسیده اند که رابطه مستقیمی بین گرما و مرگ و میر وجود دارد. در ارتباط با تأثیر گرما بر شاخص سلامت جامعه در ایران می توان به مقالات زیر اشاره کرد: (محمدی، ۱۳۸۵) در بررسی تأثیر ارتباط بین عناصر اقلیمی و آلاینده های هوای تهران با مرگ و میرهای ناشی از بیماریهای قلبی (دوره ی مطالعاتی ۲۰۰۳-۱۹۹۹) به این نتیجه رسیدند که بین عناصر آب و هوایی همچون دما، فشار هوا و رطوبت نسبی با فوت شدگان بیماری های قلبی عروقی رابطه و همبستگی قوی و معنی دار وجود دارد. (قبری و همکاران، ۱۳۹۰) در بررسی رابطه توزیع جغرافیایی فوت شدگان بر اثر انواع بیماریها با مولفه های اقلیمی در استان اصفهان به این نتیجه رسیدند که بین فوت شدگان در اثر انواع بیماری های مطالعه شده و متغیر دما ارتباط مستقیم وجود دارد. (خورشید دوست و همکاران، ۱۳۹۰) طی مطالعاتی در شهر سنندج با عنوان تأثیر عناصر اقلیمی و آلاینده ها بر بیماری هی قلبی عروقی و آسم طی سالهای (۲۰۰۱-۲۰۰۸) به این نتیجه رسیدند که در ارتباط با عناصر اقلیمی، افزایش هرواحد از عناصر میانگین دما، میانگین حداکثر رطوبت نسبی، و سرعت باد غالباً مرگ و میر حاصل از سکته قلبی را به ترتیب ۱۶٪، ۶٪ و ۲۰٪ افزایش یافته است. (یزدان پناه و همکاران، ۱۳۹۴) طی بررسی های انجام شده بر مراجعات بیماران قلبی عروقی شهر بندرعباس دریافتند که شرایط جوی و تغییرات ان از جمله تنش گرمایی یکی از علل تشدید بیماری به شمار می رود. و همبستگی مثبت قوی و معناداری در سطح آلفای ۰.۰۱ بین شاخص تنش گرمایی و مراجعات قلبی بندرعباس وجود دارد. (باعقیده و همکاران، ۱۳۹۶) به بررسی مقایسه ای تنش های حرارتی در سواحل شمال و جنوب ایران با محوریت سلامت و گردشگری پرداختند. نتایج نشان داد سطوح مختلفی از تنش های حرارتی در سواحل شمال و جنوب کشور وجود دارد که این موضوع برای سواحل جنوبی با وجود تنش های گرمایی شدید در بازه زمانی طولانی، حادتر می باشد. (ضابطیان و همکاران، ۱۳۹۷) مدل تجربی مرتبط با مطالعات سنجش سازگاری روانی گرما را با استفاده از مفهوم سازی و مطالعه مبانی و تجارب موفق جهانی استخراج نمودند. نتایج سلسله مراتبی نشان داد که وزن بعد روانی بسیار بیشتر از بعد مکانی است و برنامه ریزی برای مدیریت رفتارها در

<sup>1</sup> Tong<sup>2</sup> Kahaya<sup>3</sup> Hancock<sup>4</sup> Changnon<sup>5</sup> Campbell<sup>6</sup> Di Napoli<sup>7</sup> Murage<sup>8</sup> Wagner

فضای شهری عاملی بسیار مهمتر از برنامه ریزی کالبدی به منظور ارتقای آسایش ادراک شده شهروندان است. (رضایی و همکاران، ۱۳۹۷) دریافتند که هر مکان، متناسب با ویژگیها و خصوصیات محلی خود در زمانهای مختلف، آستانه های دمایی متفاوت دارد. بالاترین آستانه دمایی موج گرم سال در شرایط موجود و آینده مربوط به ناحیه اقلیمی خوزستان و کمترین آستانه مربوط به قسمتهایی از نواحی شمالی و شمال غرب کشور بوده است. (براتی و همکاران، ۱۴۰۰) به بررسی آماری همدیدی شهرهای رکورددار گرمایشی در ایران طی دوره گرم سال پرداختند.

در حال حاضر با توجه به پیشینه مطالعات صورت گرفته در مناطق مختلف جهان در ارتباط با مخاطرات گرمایش جهانی و دغدغه دست اندر کاران سلامت در حفظ جان افراد، لزوم انجام پژوهش های گستردۀ ضروری می نماید. مطالعات مختلفی در سنجش شاخص UTCI<sup>۱</sup> عنوان یک شاخص آسایش اقلیمی در ایران صورت گرفته است ولی تا کنون مطالعه ای مبنی بر سنجش پتانسیل شاخص UTCI در اثر گذاری گرمایش بر میزان مرگ و میر انجام نشده است. در این پژوهش تلاش می گردد به ارزیابی شرایط زیست اقلیمی تابستانه در پنج شهر تهران، اهواز، شیراز، مشهد و اصفهان بوسیله شاخص جهانی اقلیم حرارتی<sup>۲</sup> پرداخته شود و پتانسیل آن را به عنوان یک شاخص خطر سلامت مرتبط با گرمایش مورد تجزیه و تحلیل قرار گیرد.

## داده ها و روش ها

شاخص جهانی اقلیم حرارتی از داده های هواشناسی درجه حرارت، سرعت باد و رطوبت نسبی بصورت روزانه در بازه زمانی تابستان ۱۹۹۰ – ۲۰۲۱ در پنج ایستگاه سینوپتیک اهواز، تهران، اصفهان، شیراز و مشهد محاسبه شد. موقعیت مکانی ایستگاه های مورد مطالعه در شکل (۱) آورده شده است. برای محاسبه شاخص UTCI ابتدا میانگین های تابشی (Tmrt) از طریق نرم افزار Rimen<sup>۳</sup> محاسبه شد و خروجی های حاصل وارد نرم افزار Bioklima<sup>۴</sup> شدند. حداقل، حداکثر و میانگین روزانه شاخص محاسبه شد سپس برای تعیین آستانه های شاخص، صدک های ۹۰، ۹۵، ۹۸، ۹۹.۵ از میانگین ۱۵ روزه شاخص برآورد شد. مدت زمان میانگین متحرک طبق پژوهش های قبلی در مورد گرمایش (فیشر<sup>۵</sup> و اسچار<sup>۶</sup>، ۲۰۱۰) به ۱۵ روز تنظیم شده است انتخاب این صدک ها با استفاده تاریخی آنها در زمینه تحقیقات گرمایش توجیه می شود. صدک های بالا و بسیار بالا در مطالعات تأثیر گرمایش بر مرگ و میر استفاده می شود (زو<sup>۷</sup> و همکاران، ۲۰۱۶). به عنوان مثال، صدک های ۹۵، ۹۸، ۹۹.۵ قبلاً به عنوان شاخص مرتبط با مرگ و میر بیش از حد و به طور کلی اثرات منفی بر سلامتی ناشی از دمای شدید هوا در فرانسه مورد بررسی قرار گرفته اند (واگنر<sup>۸</sup> و همکاران، ۲۰۱۲، پاسکال<sup>۹</sup> و همکاران، ۲۰۰۶، ۲۰۱۳). صدک های ۹۰ و ۹۵ معمولاً به عنوان آستانه هایی در تعریف و شناسایی رویدادهای موج گرمایی اتخاذ می شود (پرکینس<sup>۱۰</sup> و الکساندر<sup>۱۰</sup>).

<sup>1</sup> UTCI

<sup>2</sup> Rayman

<sup>3</sup> Bioklima

<sup>4</sup> Fischer

<sup>5</sup> Schar

<sup>6</sup> Xu

<sup>7</sup> Wagner

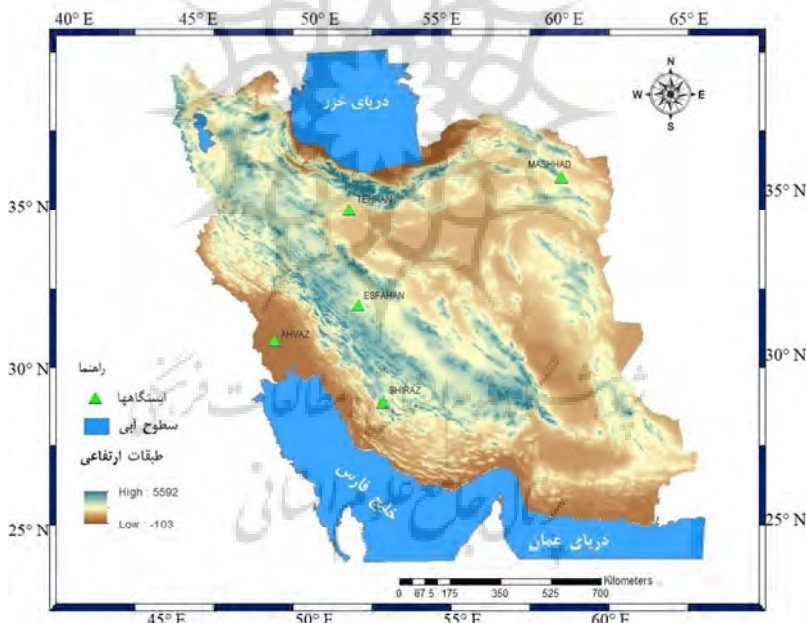
<sup>8</sup> Pascal

<sup>9</sup> Perkins

<sup>10</sup> Alexander

۲۰۱۳). سپس درصد فراوانی وقوع تابستانی طبقات تنش گرمایی شاخص جهانی اقلیم حرارتی برای هر ایستگاه محاسبه شد. جهت بررسی رفتار کلی شاخص در فصل تابستان، سری‌های زمانی مقادیر حداکثر، حداقل روزانه شاخص از مجموعه داده‌های تنش گرمایی در یک میانگین ۱۰ روزه محاسبه و نمودار روند درون فصلی برای هر شهر استخراج گردید.

انتخاب میانگین متحرک ۱۰ روزه جهت حذف نوسانات بوده است. سپس برای بررسی ارتباط و همپوشانی روزهای همراه با مقادیر بالای شاخص و روزهای مرگ و میرهای بیش از حد، دوره‌ی تابستانی سالهای ۲۰۰۲ تا ۲۰۰۵ در سطح پنج ایستگاه در نظر گرفته شد. این بازه‌ی زمانی از آن جهت بکار گرفته شد که آمار مربوط به مرگ و میر از سازمان ثبت احوال فقط برای سالهای ۲۰۰۲/۱/۱ تا ۲۰۰۵/۱۲/۳۰ در دسترس قرار گرفت. ابتدا نمودارهای پراکندگی مرگ و میر برای هر ایستگاه از مجموعه داده مرگ و میر روزانه تابستان، تولید شد سپس ارتباط مرگ و میرهای روزانه تابستان و میانگین حداکثر مقادیر روزانه شاخص جهانی اقلیم حرارتی نشان داده شد. خطوط رگرسیون در کل فصل تابستان با هموارسازی پراکندگی وزن محلی<sup>۱</sup> تعریف شدند.



شکل ۱: موقعیت جغرافیایی منطقه مورد مطالعه

### داده‌های مرگ و میر

دیتای مرگ و میر یا بر اساس عوارض ایجاد شده (که با افزایش پذیرش در بیمارستان اندازه گیری می‌شوند (سمنزات<sup>۲</sup> و همکاران، ۱۹۹۹) یا بر اساس تعداد مرگ و میر (شريдан<sup>۳</sup> و كالكستين<sup>۴</sup>، ۲۰۰۴) ثبت شده بررسی می-

1 LOWESS curve

2 Semenzaet

3 Sheridan

4 Kalkstein

شوند. علاوه بر این، اساس تجزیه تحلیل مرگ و میر روزانه به هر علتی که گزارش شده است مدنظر قرار گرفته شد. تعداد مرگ و میرهایی که طبق تعریف رسمی به عنوان مرگ های ناشی از گرما شناخته می شوند، شامل مرگ و میرهای ناشی از تأثیرات مستقیم گرما و نیز مرگ و میرهایی که گرما به عنوان نقش بالقوه کمک کننده در مرگ های قلبی عروقی و تنفسی داشته، شناخته شده است (دنگو<sup>۱</sup> و همکاران، ۱۹۹۷ و مک گرگوری<sup>۲</sup> و همکاران، ۲۰۱۵). در راستای این امر، مطالعه حاضر بر روی تمام داده های مرگ و میر تمرکز دارد. پایگاه داده های روزانه مرگ و میر از ۲۰۰۲/۱۱ تا ۲۰۰۵/۱۲/۳۰ می باشد که از سازمان ثبت احوال کل کشور دریافت شد. این پایگاه داده به مرگ و میر کلی اشاره می کند که ممکن است مرتبط با گرما باشند اما به این ترتیب برچسب گذاری نشده است. باید یادآور شد که برآورد کمیت مرگ و میر بیش از حد با کم کردن مرگ و میر مورد انتظار از مرگ و میر مشاهده شده انجام گردیده است (گسلینگت<sup>۳</sup> و همکاران، ۲۰۰۹). مرگ و میر مورد انتظار یا "خط پایه" یک مقدار عادی روزانه است که برای محاسبه تغییرات جمعیتی در طول زمان استاندارد شده است (شریدان<sup>۴</sup> و همکاران، ۲۰۰۴) از مرگ و میر مورد انتظار، مرگ و میر اضافی روزانه قابل انتساب به گرما را می توان تخمین زد.

### شاخص جهانی اقلیم حرارتی (UTCI)

این شاخص برای هر اقلیم و در هر مقیاس زمانی، مورد استفاده قرار می گیرد. در سال ۱۹۹۹ انجمن بین المللی زیست هوشنگی یک گروه تحقیقاتی ویژه ای برای ابداع شاخص اقلیم حرارتی جهانی (UTCI) تشکیل داد. شاخص به عنوان دمای معادل محیط از یک محیط مرجع با پاسخ فیزیولوژیکی شخص به محیط واقعی تعريف شده است. مقدار شاخص به درجه حرارت، سرعت باد، رطوبت نسبی و میانگین دمای تابشی بستگی دارد و بصورت زیر نوشته می شود.

$$\text{UTCI} = f(\text{Ta}; \text{Tmrt}; \text{Va}; \text{Vp}) = \text{Ta} + \text{Offset}(\text{Ta}; \text{Tmrt}; \text{Va}; \text{Vp}) \quad (1)$$

در رابطه فوق  $\text{Ta}$ : دمای هوای  $\text{Tmrt}$ : میانگین دمای تابشی،  $\text{Va}$ : سرعت باد،  $\text{Vp}$ : فشار بخار آب است (بلازجسکی<sup>۵</sup> و همکاران، ۲۰۱۳). این شاخص بر اساس رابطه زیر نیز قابل محاسبه است:

$$\text{UTCI} = 3.21 + 0.872 * \text{Ta} + 0.2459 * \text{Tmrt} - 2.5078 * \text{Va} - 0.0176 * \text{RH} \quad (2)$$

تعدیل بین دمای هوای محیط مرجع یعنی UTCI و دمای هوای محیط واقعی، به مقادیر  $\text{Ta}$  به درجه سانتیگراد، دمای متوسط تابشی ( $\text{Tmrt}$ ) به درجه سانتیگراد، سرعت باد ( $\text{Va}$ ) به متر در ثانیه در ارتفاع ۱۰ متری و رطوبت به درصد بستگی دارد که رطوبت می تواند به صورت رطوبت نسبی ( $\text{RH}$ ) یا فشار بخار آب ( $\text{Vp}$ ) بیان می شود (بلازجسکی<sup>۶</sup> و همکاران، ۲۰۱۳). ورودی دخیل جهت محاسبه UTCI میانگین درجه حرارت تابشی ( $\text{Tmrt}$ ) است. این ورودی ویژگی اثر حرارتی تابش خورشیدی است و درجه حرارت را برای انسان بیان می کند و نشان دهنده دمای

1 Donoghue

2 McGergor

3 Goslinget

4 Sheridan

5 Blazejczyk

6 Blażejczyk

سطح یکنواخت از یک محوطه فرضی است که شخص را احاطه کرده است و بر اساس رابطه ریاضی زیر قابل محاسبه است:

$$Tmrt = [ (R' + 0.5.Lg + 0.5.La) / (Sh . S) ] 0.25 + (-273) \quad (3)$$

در رابطه فوق  $R'$  : تابش خورشیدی جذب شده توسط انسان برهنه،  $Lg$  : تابش زمین،  $La$  : تابش برگشتی،  $Sh$  ضریب قابلیت انتشار برای بدن انسان که برابر  $0.95$  است و  $S$  : ثابت استファン بولتزمان ( $5.667 \times 10^{-8} \text{ W.m}^{-2}.k^{-4}$ ) در قالب یک مقیاس ارزیابی ساخته شده از ده سطح تنش بیان می شود. هر سطح، که توسط محدوده خاصی از مقادیر شاخص تعریف می شود نشان دهنده بار ناشی از پاسخ های فیزیولوژیکی و تنظیم کننده حرارت بدن انسان هنگام پاسخ به شرایط محیط واقعی است (بلازجسکی و همکاران، ۲۰۱۳). از آنجایی که این مطالعه بر فصل تابستان متمرکز است، هفت سطح تنش از تنش سرمایی متوسط تا تنش گرمایی شدید در نظر گرفته شده است. جدول ۱ طبقه بندی های این شاخص را بر اساس معیارهای اقلیمی و فیزیولوژیکی نشان می دهد.

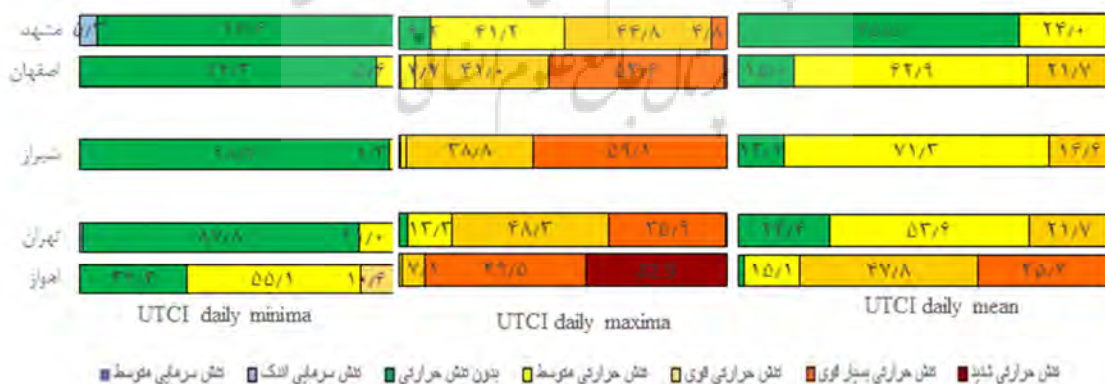
جدول ۱: طبقات شاخص UTCI و اقدامات حفاظتی

اقدامات حفاظتی	شرایط تنش حرارتی	UTCI (°C)
خنک کردن و نوشیدن مایعات بیش از $0.5$ لیتر در یک ساعت - نداشتن فعالیت فیزیکی	تنش گرمایی شدید	$> +46$
استفاده از وسایل خنک کننده - قرار گرفتن در مکان سایه دار- نوشیدن مایعات بیش از $0.5$ لیتر در ساعت- کاهش فعالیت فیزیکی	تنش گرمایی بسیار قوی	$+38$ تا $+46$
نوشیدن مایعات $0.25$ لیتر در هر ساعت- کاهش موقت فعالیت فیزیکی	تنش گرمایی قوی	$32$ تا $+38$
نوشیدن مایعات $0.25$ لیتر در هر ساعت	تنش گرمایی متوسط	$+26$ تا $+32$
تنظیم حرارت فیزیولوژیکی برای حفظ آسایش حرارتی کافی است	بدون تنش گرمایی	$+26$ تا $+29$
استفاده از دستکش و کلاه	تنش سرمایی اندر	$0$ تا $+9$
تشدید فعالیت - محافظت صورت و اندام ها در برابر سرما	تنش سرمایی متوسط	$-13$ تا $0$
تشدید فعالیت - محافظت صورت و اندام ها در برابر سرما - استفاده از لباس گرم	تنش سرمایی قوی	$-13$ تا $-27$
تشدید فعالیت - محافظت صورت و اندام ها در برابر سرما - استفاده از لباس گرم - کاهش زمان حضور در محیط های بیرون	تنش سرمایی بسیار قوی	$-27$ تا $-40$
ماندن در خانه - استفاده از پوشش لباس گرم برای محافظت در برابر سرما و سوزبار	تنش سرمایی شدید	$< -40$

منبع (بلازجسکی و همکاران، ۲۰۱۳)

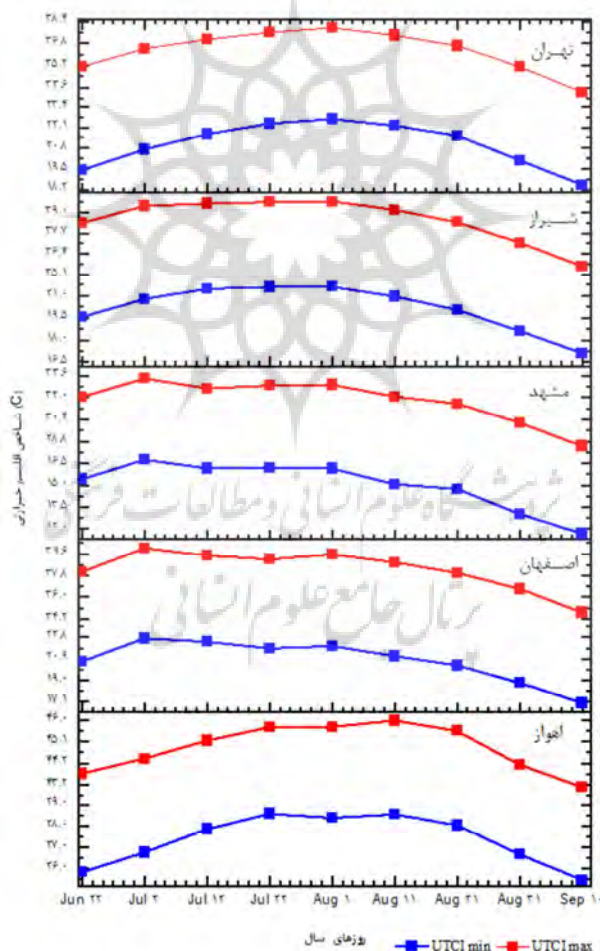
## نتایج و بحث

نمودارهای حرارتی زیست اقلیمی مشتق شده از داده های ۱۹۹۰ – ۲۰۲۱ نشان می دهد که فراوانی وقوع کلاس های UTCI در تابستان از شهری به شهر دیگر متفاوت است و سازگاری محلی انسان با تنفس گرمایی به آب و هوای نیز بستگی دارد (شکل ۲). در حالی که مقادیر حداقل روزانه UTCI بیانگر شرایط یکنواخت تری است، مقادیر میانگین و حداکثر روزانه UTCI جزئیات بیشتری را در مورد زیست اقلیمی شهرهای منتخب ارائه می دهد. بالاترین درصد مقادیر حداکثر روزانه UTCI در ایستگاه تهران و مشهد به ترتیب با  $44/8$  و  $48/3$  به تنفس گرمایی قوی تعلق دارد در حالیکه بیشترین درصد شاخص به سمت مرکز ایران در ایستگاه های اصفهان، شیراز، شرایط گرمایی بسیار قوی به میزان  $53/6$  درصد را نشان می دهد و بسمت جنوب غرب در ایستگاه اهواز شرایط گرمایی شدید با  $42/9$  درصد  $59/1$  درصد را نشان می دهد. بالاترین درصد شاخص به خود اختصاص داده است. عبارتی دیگر بیش از  $90$  درصد از دمای روزانه تابستان ایستگاه اهواز تنفس گرمایی بسیار قوی و تنفس گرمایی شدید را تجربه می کند و در مرکز ایران، ایستگاه های تهران، شیراز و اصفهان بیش از  $50$  درصد روزهای تابستان را در شرایط تنفس گرمایی بسیار قوی و شرایط تنفس گرمایی قوی طی می کند. ایستگاه مشهد تحت شرایط تنفس گرمایی زیاد و تنفس گرمایی متوسط در حداکثر روزانه خود قرار می گیرد. مقادیر حداقل روزانه UTCI از الگوی متفاوتی پیروی می کند. همه ی ایستگاه ها بجز ایستگاه اهواز، بالاترین درصد را به شرایط بدون تنفس گرمایی اختصاص داده اند این درصدها در ایستگاه تهران،  $98/7$  در ایستگاه شیراز، در ایستگاه اصفهان  $94/3$  و در ایستگاه مشهد  $94/6$  می باشد در حالیکه ایستگاه اهواز  $55/1$  درصد، را به تنفس گرمایی متوسط اختصاص داده است. مقادیر میانگین روزانه UTCI در شمال شرق ایران در ایستگاه مشهد  $75/5$  درصد شرایط بدون تنفس گرمایی، در ایستگاه اهواز  $47/8$  درصد شرایط تنفس گرمایی بسیار قوی، در ایستگاه های تهران  $53/6$  درصد، شیراز  $71/3$  درصد و در اصفهان  $62/9$  درصد تنفس گرمایی متوسط بیشترین فراوانی را نشان می دهد. بطور کلی می توان گفت در مجموع پنج ایستگاه  $97/64$  درصد روزهای تابستان دارای تنفس گرمایی روزانه UTCImax (UTCImin) هستند و  $18/08$  درصد دارای تنفس گرمایی شباهن (UTCImin) هستند.



شکل ۲: درصد فراوانی طبقات تنفس گرمایی برای پنج شهر مورد مطالعه، از سمت چپ به ترتیب مقادیر حداقل شاخص UTCI و مقادیر میانگین شاخص UTCI

در شکل (۳) سری درون فصلی تنفس گرمایی منعکس شده است. میانگین ۱۰ روزه حداقل و حداکثر روزانه UTCI در ایستگاه اهواز با فاصله زیاد نسبت به بقیه ایستگاه‌ها قرار دارد. با این حال در همهٔ ایستگاه‌ها، سری درون فصلی تابستانه مشابه و به سمت آخر تابستان کاهشی است نگاه دقیق‌تر به رفتار تابستانی UTCI در ایستگاه اهواز نشان از افزایش شاخص تا حدود ۱۰ روز آخر تیرماه دارد و به اوج خود می‌رسد و در ۲۰ روز اول مرداد تقریباً در همان مقدار باقی می‌ماند و پس از آن کاهش می‌یابد. در ایستگاه مشهد ابتدای فصل تابستان در ۱۰ روز ابتدای تیرماه مقدادیر شاخص افزایش ولی از اواسط تیرماه کاهشی می‌شود. در سه ایستگاه دیگر شیراز، اصفهان و تهران مقدادیر شاخص ابتدای افزایشی و در ۱۰ روز آخر مرداد ماه کاهشی است که این نشان دهنده سازگاری با سطوح بالا تنفس گرمایی است که در نیمه دوم تابستان اتفاق می‌افتد و آسیب‌پذیری بالقوه جمعیت محلی زمانی که رویدادهای گرمایی شدید در قسمت اول تابستان اتفاق می‌افتد، می‌باشد.

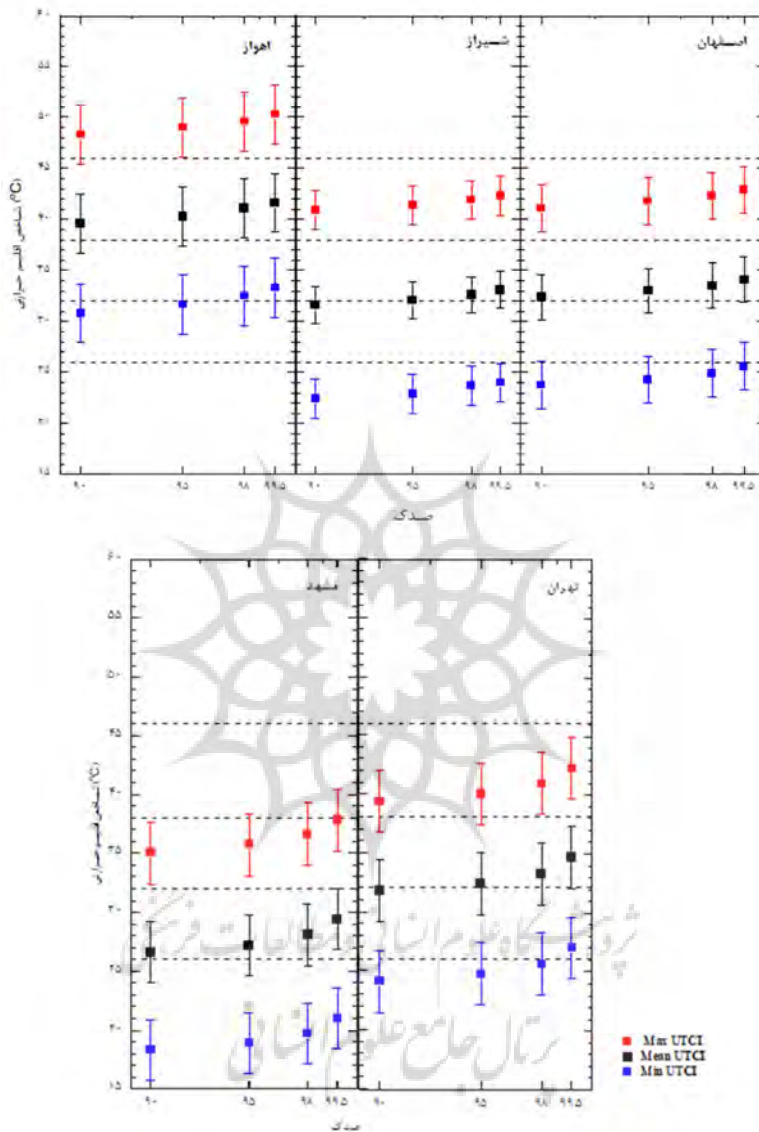


شکل ۳: سری درون فصلی مقادیر حداقل روزانه شاخص UTCI (خطوط آبی رنگ) و حداکثر روزانه شاخص UTCI (خطوط قرمز رنگ). نقاط روی خطوط به مقادیر میانگین ۱۰ روزه اشاره دارد

## آستانه‌ی تنش گرمایی شاخص اقلیم حرارتی UTCI

از مجموعه داده‌های تنش گرمایی، زیست اقلیم‌های متفاوت مقادیر آستانه‌های شاخص UTCI در صدک‌های ۹۰، ۹۵، ۹۸ و ۹۹,۵ برای هر پنج ایستگاه اهواز، تهران، شیراز، اصفهان و مشهد محاسبه شده و در شکل (۴) منعکس شده است. آستانه صدک‌های شاخص UTCI در ایستگاه اهواز بالاترین مقدار و ایستگاه مشهد پایین‌ترین مقدار را نشان می‌دهد. آستانه صدک ۹۰ مقادیر حداکثر شاخص ایستگاه اهواز عمدتاً در رده تنش گرمایی شدید، ایستگاه تهران، اصفهان و شیراز در رده تنش گرمایی بسیار قوی و برای ایستگاه مشهد در رده تنش گرمایی قوی قرار می‌گیرد. این نتیجه نشان می‌دهد ۱۰٪ احتمال دارد در طول فصل تابستان شرایط مرتبط با حداکثر مقدار UTCI در ایستگاه اهواز بالاتر از ۴۶ درجه سانتیگراد (تنش گرمایی شدید)، در ایستگاه‌های تهران، اصفهان و شیراز بالاتر از ۳۸ درجه سانتیگراد (تنش گرمایی بسیار قوی) و در ایستگاه مشهد، بالاتر از ۳۲ درجه سانتیگراد (تنش گرمایی قوی) برسد. رویدادهایی که با تنش گرمایی قوی، بسیار قوی و شدید در حداکثر UTCI مشخص می‌شوند، جمعیت محلی را در معرض بار گرمایی بالاتر از آنچه که با آن سازگار هستند، و پیامدهای منفی بالقوه برای سلامتی آنها قرار می‌دهند.

حداقل آستانه UTCI در ایستگاه اهواز در رده "تنش گرمایی متوسط" و "تنش گرمایی قوی" قرار گرفته است. در ایستگاه تهران و اصفهان، حداقل آستانه در دو رده "بدون تنش گرمایی" و "تنش گرمایی متوسط" و برای ایستگاه شیراز و مشهد در دسته "بدون تنش گرمایی" است. مقادیر حداقل در اهواز بطور میانگین بین ۲۸-۳۶ درجه سانتیگراد، در تهران بین ۲۲-۳۰ درجه سانتیگراد، در اصفهان و شیراز بین ۲۱-۲۸ درجه سانتیگراد و در مشهد بین ۱۶-۲۴ درجه سانتیگراد است. آستانه‌های میانگین UTCI در تقاطع بین دسته‌های تنش گرمایی متوسط، تنش گرمایی قوی و تنش گرمایی بسیار قوی قرار می‌گیرند. میانگین آستانه UTCI مرتبط با صدک ۹۸ و ۹۹,۵ در ایستگاه‌های اصفهان، شیراز، تهران نزدیک یا بالاتر از ۳۲ درجه سانتیگراد، برای ایستگاه مشهد بالاتر از ۲۶ درجه سانتیگراد و برای ایستگاه اهواز بالاتر از ۳۸ درجه سانتیگراد است که این آستانه‌ها مقادیر را به طور بالقوه معنی دار می‌کند. عملکرد حداکثر و حداقل دمایی هر ایستگاه بعنوان یک آستانه دمایی، بر اساس دمای هوای ۲ متری نشان می‌دهد این آستانه دمایی با آستانه‌های UTCI متفاوت است. این مساله به دلیل وابستگی UTCI به سایر پارامترهای هواشناسی است که همراه با دمای هوای برای تعریف شرایط محیطی مؤثر بر تعادل انرژی حرارتی انسان استفاده می‌شود. اگرچه UTCI وابستگی خطی به دمای هوای دارد، ولی به تغییرات رطوبت، سرعت باد و تشبع نیز بسیار حساس است (بلازجسکی<sup>۱</sup> و همکاران، ۲۰۱۲؛ پاپنبرگ<sup>۲</sup> و همکاران، ۲۰۱۵). برای مثال، به طور کلی آستانه‌های حداکثری UTCI بالاتر از صدک‌های دمای هوای مربوطه هستند، که این امر نشان‌دهنده پتانسیل شاخص UTCI در ایجاد سطوح بالاتر تنش حرارتی نسبت به سایر متغیرهای هواشناسی است.

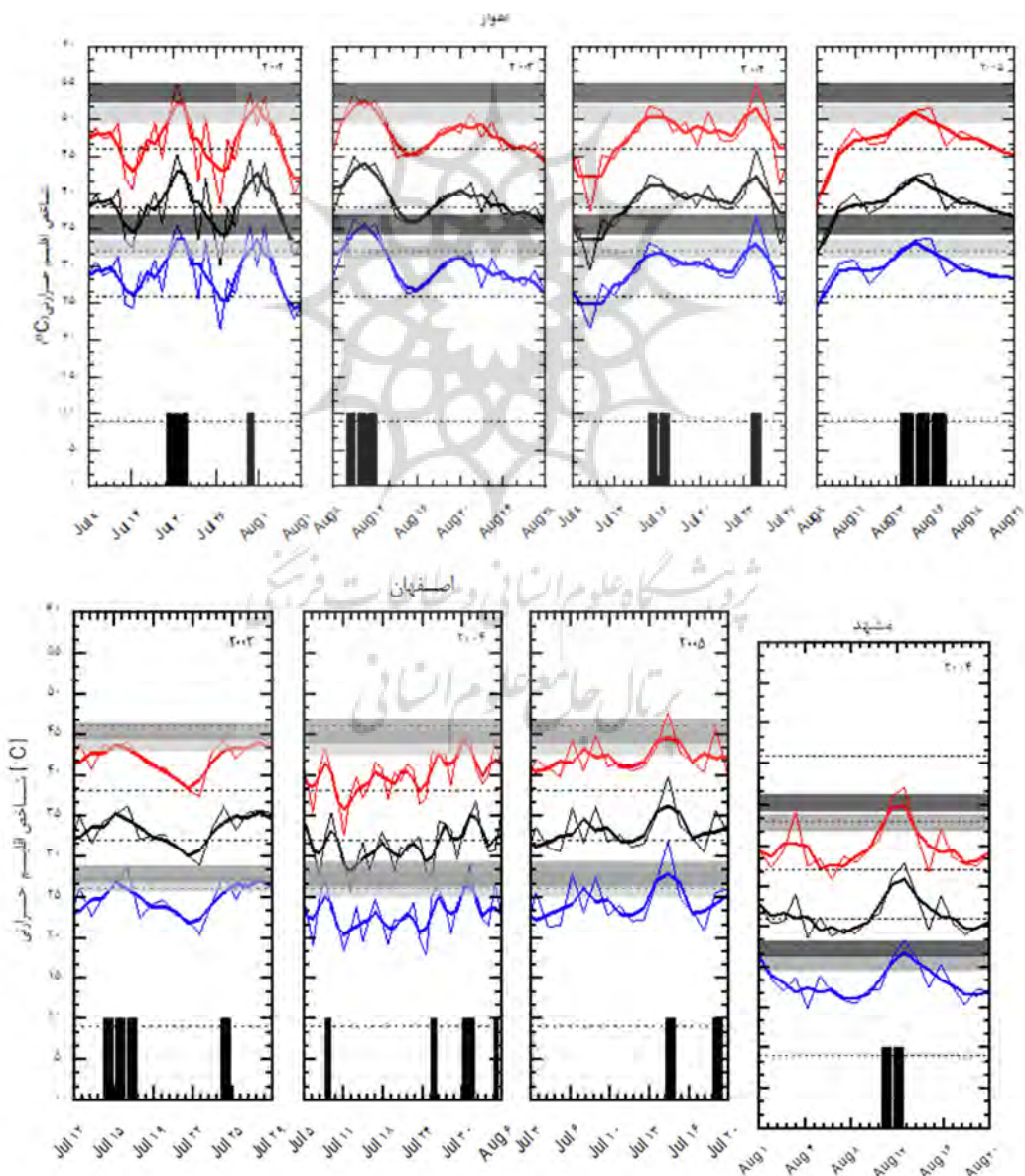


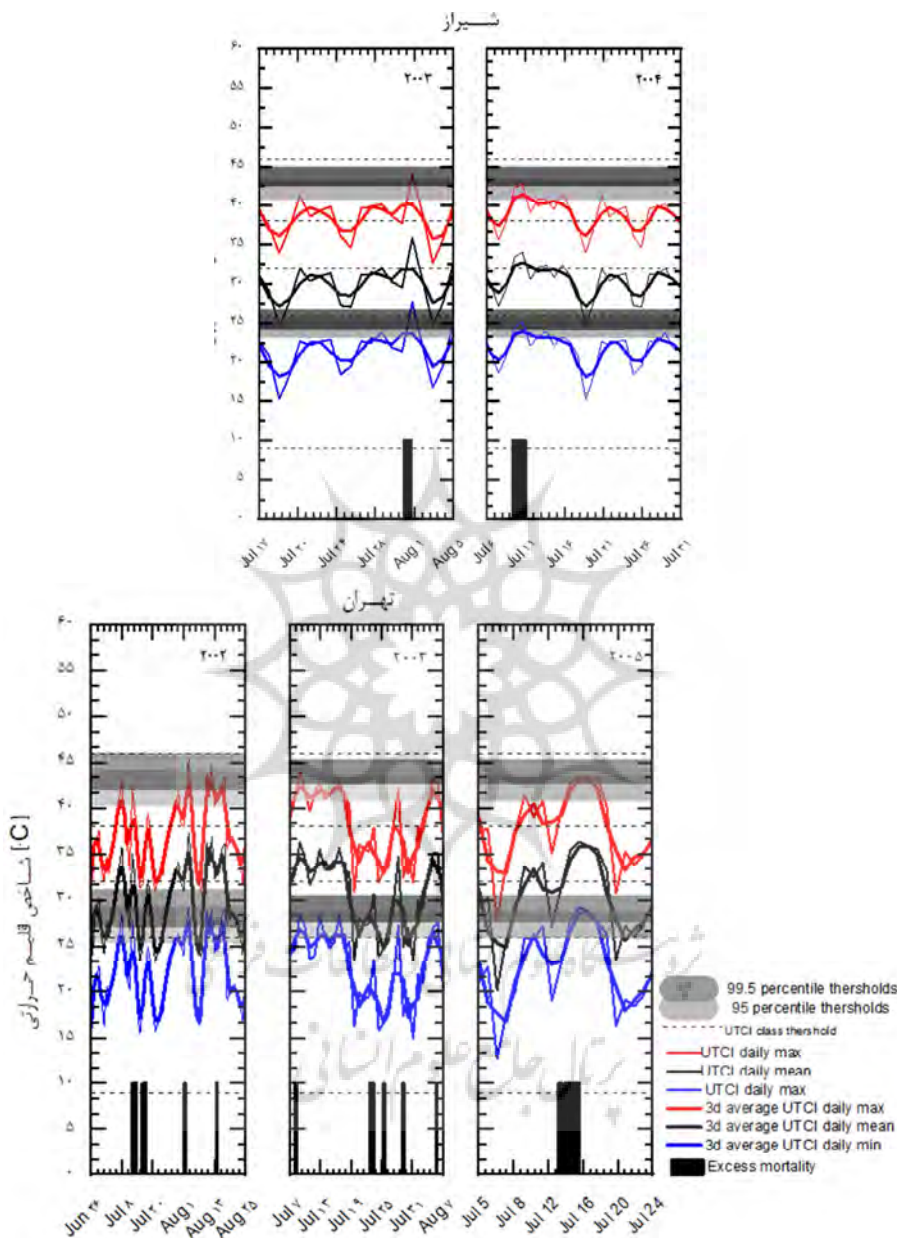
شکل ۴: مقادیر شاخص UTCI و دمای هوای مرتبط با صدک های ۹۰، ۹۵، ۹۸، ۹۹.۵ و ۹۹.۹ (مقادیر حداقل، حداکثر و میانگین به ترتیب با رنگ آبی، قرمز و مشکی مشخص شده است). نقاط ارور Bar نشان دهنده تغییرپذیری مقادیر صدک های شاخص در فصل تابستان است. خطوط خیز چین طبقات شاخص UTCI را نشان می دهد.

#### شرایط زیستی شاخص حرارتی جهانی و مرگ و میر

مقایسه سری های زمانی UTCI با مرگ و میر های بیش از حد، بیشتری را در مورد ارتباط بین تنفس گرمایی و اثرات سلامتی در پنج شهر در نظر گرفته شده در این مطالعه ارائه می دهد (شکل ۵) مقدار جداکثر UTCI در ایستگاه اهواز به بالای ۴۶ درجه سانتیگراد یا بیشتر (تنفس حرارتی شدید) و نزدیک یا بالای صدک ۹۵ افزایش یافت. در ایستگاه های تهران، اصفهان، شیراز و مشهد مقدار جداکثر شاخص UTCI بالای ۳۸ درجه

سانتیگراد (تنش حرارتی بسیار قوی) و نزدیک صدک ۹۹,۵ رسید. مقادیر حداقل UTCI در ایستگاه اهواز بین ۳۸-۳۲ درجه سانتیگراد (تنش حرارتی زیاد)، ایستگاه شیراز و مشهد بین ۹-۲۶ درجه سانتیگراد (بدون تنش حرارتی) و برای ایستگاه تهران بین ۲۶-۳۲ درجه سانتیگراد (تنش حرارتی متوسط) محاسبه شد. مقادیر میانگین UTCI ایستگاه اهواز بین ۳۸-۴۶ درجه سانتیگراد (تنش حرارتی بسیار زیاد)، ایستگاه تهران و اصفهان بین ۳۲-۳۸ درجه سانتیگراد (تنش حرارتی زیاد) و برای ایستگاه شیراز و مشهد بین ۲۶-۳۲ درجه سانتیگراد (تنش حرارتی متوسط) محاسبه شد. این سطوح از تنش گرمایی غیرمعمول و تشدید شده، بیوکلیماتولوژی روز و شب تهران، اهواز، مشهد، شیراز و اصفهان را مشخص کرد. در واقع مقادیر حداکثر و حداقل UTCI روی صدک ۹۹,۵ و ۹۵ در نوسان بوده، که نشان‌دهنده سهم برابر تنش گرمایی روزانه و شبانه در هر پنج ایستگاه است.



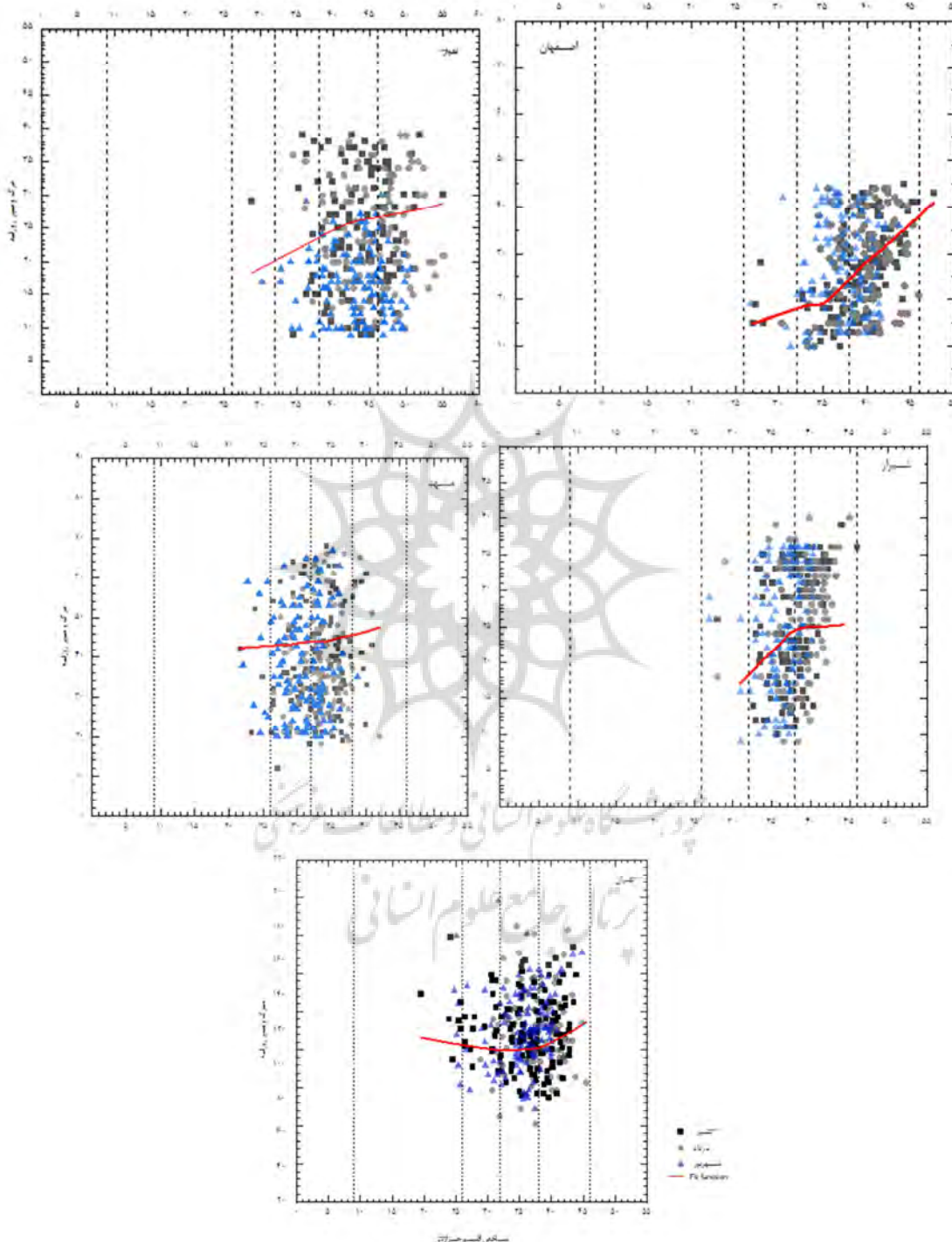


شکل ۵: سری زمانی مقادیر حداقل (رنگ آبی)، مقادیر میانگین (رنگ مشکی) و مقادیر حداکثر (رنگ قرمز) در طول رویدادهای همراه با مرگ و میر بیش از حد ناشی از گرما. مقادیر شاخص UTCI بصورت میانگین ۳ روزه نمایش داده می شود. نوارهای مربوط به صدک ۹۵ و ۹۹.۵ برای مقایسه نشان داده شده است. خط چین ها طبقات مختلف شاخص را نشان داده است.

### شاخص اقلیم حرارتی جهانی و پراکندگی مرگ و میر

به منظور ارزیابی تأثیر تنفس گرمایی بر سلامت انسان در محدوده پنج ایستگاه مورد مطالعه، توزیع تعداد مرگ و میر ناشی از تمامی عوامل در جداکثر مقادیر مختلف UTCI مورد بررسی قرار گرفت. (شکل ۶) نمودار پراکندگی مرگ و

میر و شاخص UTCI نشان می دهد که داده ها به طور کلی در خوشه ها گروه بندی می شوند. یک خوشه بر اساس کشور در یک یا چند دسته تنশ گرمایی قرار می گیرد. به عنوان مثال، در اهواز، مرگ و میرها به طور کلی با شرایط تنش گرمایی شدید و تنش گرمایی بسیار قوی همراه است. در اصفهان و شیراز، مرگ و میر بیشتر در شرایط تنش گرمایی قوی و بسیار قوی رخ می دهد. در تهران، مرگ و میر ناشی از شرایط تنش گرمایی متوسط و تنش گرمایی قوی و بسیار قوی است. در مشهد مرگ و میرها در شرایط تنش گرمایی متوسط و تنش گرمایی قوی رخ می دهد. برای هر یک از این گروهها، مقوله های تنش گرمایی که توسط یک خوشه در بر می گیرند، معکوس کننده بیوکلیمای حرارتی یک کشور هستند. تأثیر یک رده تنش گرمایی بر تعداد مرگ و میرها با روند تابع LOWESS که برای برآش خوشه ها استفاده می شود، آشکار می شود. روش رگرسیون غیرپارامتری است که مدل های رگرسیون چندگانه را با یک مدل مبتنی بر  $k$  نزدیکترین همسایگی ترکیب می کنند. به طور کلی نقاط داده ای که در مجاورت خط تابع قرار دارند وزن بیشتری نسبت به نقاط داده ای که دور هستند دریافت می کنند. روند مرگ و میر متاثر از شاخص UTCI به طور کلی به طبقه بندی تنش گرمایی که یک خوشه در آن قرار می گیرد بستگی دارد. برای خوشه ای اهواز در محدوده تنش گرمایی بسیار قوی و تنش گرمایی شدید، ارتباط بین UTCI و مرگ و میر شبیه افزایشی است ولی با افزایش UTCI تا ۴۰ درجه سانتیگراد، شبیه افزایش مرگ و میر ملایم تر می شود. با حرکت UTCI به سمت شرایط تنش گرمایی قوی و بسیار قوی در خوشه اصفهان و شیراز، ارتباط بین UTCI و مرگ و میر یک شکل J واضح پیدا می کند و شبیب ها به ترتیب در ۳۵ و ۳۹ درجه سانتیگراد تندری می شوند. خوشه مشهد تقریباً مسطح یا کمی V شکل است یعنی با افزایش UTCI به ۳۵ درجه سانتیگراد، تعداد مرگ و میرها شروع به افزایش می کند. برای تهران ارتباط U شکل است و ابتدا با افزایش UTCI تا مرز ۳۵ درجه سانتیگراد، تعداد مرگ و میرها کاهش یافته سپس با افزایش UTCI به بالاتر از ۳۵ درجه سانتیگراد، تعداد مرگ و میرها شروع به افزایش می کند. همانطور که قابل مشاهده است در همه ای خوشه ها، با ورود شاخص UTCI به محدوده ای ۳۵ درجه سانتیگراد (تنش گرمایی قوی) تعداد مرگ و میرها شروع به افزایش می کند. اهمیت این نتایج دو چندان است. اول، ارتباط مقوله ای شاخص UTCI را به عنوان محدوده ای که بر اساس مقادیر قابل توجه فیزیولوژیکی تعریف شده است، بر جسته می کند. دوم، تأثیر پیشرونده و بزرگتر بر حرارتی شاخص را در افزایش مرگ و میر تأیید می کند زیرا شرایط از نظر گرمایی تنش زائر می شود. این اثر ممکن است به ویژه در مناطقی قابل توجه باشد که تحت سلطه زیست اقلیم های گرمایی با تنش گرما و روابط قوی مرگ و میر UTCI هستند، در حالی که رویدادهای گرمای شدید کوتاه مدت ممکن است تأثیرات بیشتری در کشورهایی داشته باشند که با زیست اقلیم حرارتی خنثی تر و روابط ضعیف تر UTCI-مرگ و میر مشخص می شوند که مطالعات بیشتری در این زمینه مورد نیاز است. تجزیه و تحلیل حاضر نشان می دهد که رابطه مرگ و میر و UTCI به شدت با زیست اقلیم حرارتی که یک جمعیت در معرض آن قرار گرفته و سازگار شده ارتباط دارد.



شکل ۶: نمودارهای پراکندگی مقادیر میانگین ماهانه مرگ‌های ناشی از تنفس گرمایی و مقادیر حداقل روزانه UTCI برای دوره ۲۰۰۵-۲۰۰۲. خطوط نقطه چین طبقات مختلف تنفس UTCI را نشان می‌دهد.

## نتیجه گیری

در این پژوهش پتانسیل UTCI به عنوان یک شاخص خطر سلامت مرتبط با گرما در سطح پنج ایستگاه تهران، اهواز، اصفهان، شیراز و مشهد مورد تجزیه و تحلیل قرار گرفته است. با استفاده از داده های هواشناسی ۳۲ ساله نمودارهای فراوانی طبقات تنش گرمایی UTCI برای فصل تابستان محاسبه شده است. مقادیر روزانه حداقل، حداکثر و میانگین UTCI به ترتیب استخراج شد. برای محاسبه آستانه UTCI در صدکهای اقلیمی معمولاً در زمینه تحقیقات تنش های گرمایی، صدکهای ۹۰، ۹۵، ۹۸، ۹۹,۵ مورد استفاده قرار گرفته‌اند. فراوانی کلاس های مختلف شاخص UTCI محاسبه و درصد روزهای بدون تنش گرمایی و روزهای همراه با تنش گرمایی تعیین شد. آستانه صدکهای مقادیر حداقل شاخص UTCI در سه کلاس بدون تنش گرمایی، تنش گرمایی متوسط و تنش گرمایی قوی و برای آستانه صدکهای مقادیر حداکثر شاخص UTCI نیز در سه کلاس تنش گرمایی شدید، تنش گرمایی بسیار قوی و تنش گرمایی قوی قرار گرفتند که احتمال رخداد شرایط مرتبط با حداکثر مقدار شاخص UTCI در این سه کلاس در طول تابستان ۱۰٪ می باشد. رویدادهایی که با تنش گرمایی قوی، بسیار قوی و شدید در حداکثر UTCI مشخص می شوند، جمعیت محلی را در معرض بار گرمایی بالاتر از آنچه که با آن سازگار هستند، و پیامدهای منفی بالقوه برای سلامتی آنها قرار می دهند. می‌کند. با در نظر گرفتن مرگ و میر بیش از حد به عنوان تاثیر اصلی گرما بر سلامت انسان، سری های زمانی UTCI با ازمايش این شرط استفاده شده است که روزهای با مقادیر نزدیک و یا بالاتر از آستانه صدکهای مطابق با روزهای با مرگ و میر بیش از حد مشاهده شده است. نتایج ارائه شده در این مطالعه نشان داد که حداقل و حداکثر شاخص UTCI بین صدک ۹۵ و ۹۹,۵ در نوسان بوده بنابراین سهم تنش گرمایی روزانه و شبانه تقریباً برابر است. سپس داده‌های زیست‌اقلیمی حرارتی با داده‌های مرگ و میر در پنج ایستگاه نمودار پراکندگی مرگ و میر و شاخص UTCI نشان می دهد که داده‌ها به طور کلی در خوش‌ها مرتبط شده است. نمودار پراکندگی مرگ و میر و شاخص UTCI و تعداد مرگ و میرها متعدد است (بالابر-V، U-، J- شکل) و زیست‌اقلیمی هر شهر را معنکس می کند. نتایج به دست آمده از واکاوی رفتار مرگ و میر در پنج کلانشهر متاثر از شاخص اقلیم حرارتی با پژوهش‌های کاهایا (۲۰۰۷)، و هنکوک و همکاران (۲۰۰۷) هم راستا بوده، عملکرد متفاوت شاخص با توجه به عوامل محیط زیستی و تاثیرات ویژگیهای مکانی هر منطقه تایید می شود بطوریکه در هر منطقه چفرافیایی بر اساس ویژگیهای محیطی و اقلیمی آن، ماهیت ارتباط متفاوت خواهد بود. تغییرات تأثیر یک رده تنش گرمایی بر تعداد مرگ و میرها با روند تابع LOWESS که برای برآش خوش‌ها استفاده می شود، آشکار می شود. میزان افزایش مرگ و میر بستگی به سطوح تنش گرمایی دارد و در حدود ۳۵ درجه سانتیگراد و بالاتر، یعنی ورود به محدوده کلاس متوسط UTCI افزایش مرگ و میر مشهود است که در این راستا مطالعه‌ی همبستگی بین تعداد مرگ و میر در اروپا نشان داد که بین شاخص و تعداد مرگ‌ها به بیوکلیمای کشور بستگی دارد و تعداد مرگ‌ها در شرایط تنشی متوسط و قوی مثلاً وقتی دما بالای ۲۶ و ۳۲ باشد افزایش می یابد (نایپلی ۱ و همکاران، ۲۰۱۸). نیز مطابق پژوهش قنبری و همکاران (۱۳۹۰) متوجه شدند بین عناصر اقلیمی همچون دما، فشار هوا و رطوبت نسبی با فوت شدگان بیماری های قلبی عروقی رابطه و همبستگی قوی و معناداری وجود دارد. بدین ترتیب نتایج ارائه شده در این مطالعه یک ارزیابی اولیه از سودمندی بالقوه و مناسب بودن

<sup>1</sup> Napoli

در تعریف خطرات مرگ و میر مرتبط با گرما ارائه داده و نقش تنفس گرمایی را به عنوان خطر سلامتی نشان می‌دهد.

## منابع

- اسماعیل نژاد، مرتضی؛ خسروی، محمود؛ علیجانی، بهلول؛ مسعودیان، سید ابوالفضل. (۱۳۹۲). شناسایی امواج گرمایی ایران. *فصلنامه جغرافیا و توسعه*, ۱۱ (۳۳)، ۵۳-۳۹.
- باعقیده، محمد؛ شاکری، فهیمه؛ میوانه، فاطمه. (۱۳۹۶). بررسی مقایسه‌ای تنفس‌های حرارتی در سواحل شمال و جنوب ایران. *مجله تحقیقات سلامت در جامعه*, ۳ (۳)، ۱۱-۱.
- خورشید دوست، علی محمد؛ محمدپور، کاوه؛ بیورانی، حسین. (۱۳۹۲). تاثیر عناصر اقلیمی و الاینده‌ها بر روی بیماریها سکته قلبی و آسم در شهر سنندج (۲۰۰۸-۱۲۰۰). *فصلنامه فضای جغرافیایی*, ۱۳ (۴۲)، ۱۲۵-۱۰۳.
- رضائی، فرشته. (۱۳۹۷). استاندارد سازی شاخص حدی امواج گرمایی در دوره گرم سال براساس شرایط اب و هوایی ایران. *رساله دکتری تخصصی (Ph.D)*. استاد راهنمای دکتر: محمود احمدی، دانشکده علوم زمین، دانشگاه شهید بهشتی.
- براتی، غلامرضا؛ موادی، محمد؛ سعیدی نیا، مریم. (۱۴۰۰). واکاوی همدید شهرهای رکورددار گرما در ایران. *مجله پژوهش‌های دانش زمین*, ۱۲ (۲)، ۶۴-۷۳.
- ضابطیان، الهام؛ خیرالدین، رضا. (۱۳۹۷). مدل سلسله مرتبی ارزیابی سازگاری روانی در جهت نیل به آسایش حرارتی و حس مکان در فضاهای شهری. *فصلنامه مطالعات شهری*, ۷ (۲۸)، ۹۰-۷۹.
- فلاح قالهری، غلامعباس؛ میوانه، فاطمه؛ شاکری، فهیمه. (۱۳۹۴). ارزیابی آسایش حرارتی انسان با استفاده از شاخص جهانی اقلیم حرارتی، مطالعه موردی: استان کردستان. *مجله سلامت و محیط زیست*, ۳ (۲۸)، ۷۸-۳۶۷.
- قنبری، یوسف؛ برقی، حمید؛ غیاث، مجید؛ روزبهانی، رضا؛ حاجریان، احمد؛ محمدی، منیره؛ دهدشتی، نعیمه السادات. (۱۳۹۰). بررسی رابطه توزیع جغرافیایی فوت شدگان بر اثر انواع بیماری‌ها با مولفه‌های اقلیمی، نمونه موردی استان اصفهان. *مجله دانشکده پزشکی اصفهان*, ۲۹ (۱۶۰)، ۱۷۱۳-۱۷۲۴.
- محمدی، حسین. (۱۳۸۵). ارتباط عناصر اقلیمی و الاینده‌های تهران با مرگ و میر ناشی از بیماری‌های قلبی (دوره ی مطالعاتی ۳-۲۰۰۳). *فصلنامه پژوهش‌های جغرافیایی*, ۵ (۵۸)، ۶۶-۴۷.
- یزدان پناه، حجت‌الله؛ صالحی‌فرد، عذری؛ گلشاهی، جعفر. (۱۳۹۴). بررسی تاثیر امواج گرمایی بر تعداد مراجعات قلبی شهر بندرعباس. *فصلنامه برنامه‌ریزی فضایی (جغرافیا)*, ۵ (۳)، ۶۲-۴۵.
- Baccini, M., Biggeri, A., Accetta, G., Kosatsky, T., Analitis, A., Anderson, HR. (2008). Heat Effects on Mortality in 15 European Cities. *Epidemiology*, 19(5), pp 711-719. <https://doi.org/10.1097/EDE.0b013e318176bfcf PMID: 1852061>.
- Basu, R., J. M., Samet. (2002). Relation between elevated ambient temperature and mortality: A review of the epidemiological evidence. *Epidemiol. Rev*, 24(2), pp 190-202. <https://doi.org/10.1093/epirev/mxf007>.
- Blażejczyk, K. (2011). Assessment of regional bioclimatic contrasts in Poland. *Miscellanea Geographica-Regional Studies on Development*, 15(-1), pp 79-91. <https://doi:10.2478/v10288-012-0004-7>.
- , Y., Epstein, G., Jendritzky, H., Staiger, B., Tinz. (2012). Comparison of UTCI to selected thermal indices. *Int. J. Biometeor*, 56(3), pp 515-535. <https://doi.org/10.1007/s00484-011-0453-2>.
- , G., Jendritzky, P., Bröde, D., Fiala, G., Havenith, Y., Epstein, A., Psikuta, B., Kampmann. (2013). An introduction to the universal thermal climate index. *Geogr. Pol.*, 86(1), pp 5-10. <https://doi.org/10.7163/GPol.2013.1>.
- Campbell, S., T. A., Remenyi, C. J., White, F. H., Johnston. (2018). Heatwave and health impact research: A global review. *Health Place*, (53), pp 210-221. <https://doi.org/10.1016/j.healthplace.2018.08.017>.
- Costello, A., et al. (2009). Managing the Health Effects of Climate Change: Lancet and University College London Institute for Global Health Commission. *The Lancet*, (373), pp 1693-1733. [http://dx.doi.org/10.1016/S0140-6736\(09\)60935-1](http://dx.doi.org/10.1016/S0140-6736(09)60935-1)
- Changnon, D., Changnon, S.A. Evaluation of Weather Catastrophe Data for Use in Climate Change Investigations. *Climatic Change* 38, 435-445 (1998). <https://doi.org/10.1023/A:1005348112541>
- Di Napoli, C., F., Pappenberger, H. L., Cloke. (2018). Assessing heat-related health risk in Europe via the universal thermal climate index (UTCI). *Int. J. Biometeor*, (62), pp 1155-1165. <https://doi.org/10.1007/s00484-018-1518-2>.

- , C., F., Pappenberger, H. L., Cloke. (2019). Verification of Heat Stress Thresholds for a Health-Based Heat-Wave Definition. *J. Appl. Meteor. Climatol.*, (58), pp 1177–1194. <https://doi.org/10.1175/JAMC-D-18-0246.1>.
- Fischer, E., C., Schär. (2010). Consistent geographical patterns of changes in high-impact European heatwaves. *Nat. Geosci.*, 6(3), pp 398–403, <https://doi.org/10.1038/ngeo866>.
- Hancock, PA., Ross JM., Szalma JL. (2007). A meta-analysis of performance response under thermal stressors. *Hum Factors*, 49(5), pp 851–877. DOI:[10.1518/001872007X230226](https://doi.org/10.1518/001872007X230226).
- Havenith, G., D., Fiala. (2016). Thermal indices and thermophysiological modeling for heat stress. *Compr. Physiol.* 6(1), pp 255–302. <https://doi.org/10.1002/cphy.c140051>.
- Heidari, H., Golbabaei, F., Shamsipour, A., Rahimi Forushani, A., Gaeini, A.(2017). The cut-off point for tympanic temperature as a heat strain index for evaluation of outdoor workers: a field study. *Int J Occup Safe Ergonom.* 24(2), pp 224–32. <https://doi.org/10.1080/10803548.2017.1281524>
- Heidari, H., Golbabaei, F., Shamsipour, A., Forushani, AR., Gaeini A. (2015). Outdoor occupational environments and heat stress in IRAN. *J Environ Health Sci Engineer.* 13(1), pp 1. <https://doi.org/10.1186/s40201-015-0199-6>
- Kahya, E. (2007). The effects of job characteristics and working conditions on job performance. *Int J Ind Ergon.* 37(6), pp 515–523. <https://doi.org/10.1016/j.ergon.2007.02.006>
- Klinenberg E. (2002). Heat Wave: A Social Autopsy of Disaster in Chicago.
- McGregor, G., Bessemoulin, P., Ebi, K., Menne, B. (2015). Heatwaves and Health: Guidance on Warning-System Development. World Meteorological Organization, WHO, Geneva, Switzerland. 96 pp.
- , J., Vanos. (2018). Heat: A primer for public health researchers. *Public Health.* 161(23), pp 138–146. <https://doi.org/10.1016/j.puhe.2017.11.005>.
- Murage, P., S. Hajat, R. S., Kovats (2017). Effect of night-time temperatures on cause and age-specific mortality in London. *Environ. Epidemiol.* (21). pp e005. <https://doi.org/10.1097/EDE.0000000000000005>.
- Pappenberger, F., G., Jendritzky, H., Staiger, E., Dutra, F., Di Giuseppe, D. S., Richardson, H. L., Cloke (2015). Global forecasting of thermal health hazards: The skill of probabilistic predictions of the universal thermal climate index (UTCI). *Int. J. Biometeor.* (59)3, pp 311–323, <https://doi.org/10.1007/s00484-014-0843-3>.
- Pascal, M., and Coauthors. (2006). France's heat health watch warning system. *Int. J. Biometeor.* 50(3), 144–153. <https://doi.org/10.1007/s00484-005-0003-x>.
- , V., Wagner, A., Le Tertre, K., Laaidi, C., Honoré, F., Bénichou, P., Beaudeau. (2012). Definition of temperature thresholds: The example of the French heat wave warning system. *Int.J. Biometeor.* 57(1), pp 21–29. <https://doi.org/10.1007/s00484-012-0530-1>.
- Perkins, S. E., Alexander, L. V., Nairn, J. R. (2012) Increasing frequency, intensity and duration of observed global heatwaves and warm spells, *Geophys. Res. Lett.* 39(20), pp 20714. <https://doi.org/10.1029/2012GL053361>.
- , L., Alexander. (2013). On the measurement of heatwaves. *J. Climate.* (13)26, pp 4500–4517. <https://doi.org/10.1175/JCLI-D-12-00383.1>.
- Robinson, PJ. (2001). On the definition of a heat wave. *Journal of Applied Meteorology.* 40(4), pp 762–765.
- Tong, S., Wang, X.Y., Barnett, A.G. (2010). Assessment of heat-related health impacts in Brisbane, Australia: comparison of different heatwave definitions. *PLoS One* 5(8), pp e12155. <https://doi.org/10.1371/journal.pone.0012155>
- Semenza, J. C., J. E. McCullough, W.D., Flanders, M.A., McGeehin, J. R., Lumpkin. (1999). Excess hospital admissions during the July 1995 heat wave in Chicago. *Amer. J. Prev. Med.* 16(4), pp 269–277. [https://doi.org/10.1016/S0749-3797\(99\)00025-2](https://doi.org/10.1016/S0749-3797(99)00025-2).
- Sheridan, S., L., Kalkstein. (2004). Progress in heat health warning system technology. *Bull. Amer. Meteor. Soc.* 85(12), pp 1931–1941. <https://doi.org/10.1175/BAMS-85-12-1931>.
- Wagner, V. U. A., C. Calmet, M., Pascal. (2018). Evolution of heat waves and associated mortality in France, 2004–2014. *Bull. Epidemiol. Hebd.* **16–17**, pp 320–325.
- Xu, Z., G. FitzGerald, Y.Guo, B. Jalaludin, S., Tong. (2016). Impact of the heatwave on mortality under different heatwave definitions: A systematic review and meta-analysis. *Environ. Int.* 89–90, pp 193–203. <https://doi.org/10.1016/j.envint.2016.02.007>.

## References

### References (in Persian)

- Ismailnejad, Morteza; Khosravi, Mahmoud; Alijani, Bahlul; Masoudian, Seyyed Abulfazl. (2012). Identification of heat waves in Iran. *Geography and Development Quarterly*, 11(33), pp 39-58. [In Persian]
- Baagideh, Mohammad; Shakri, Fahima; Miwaneh, Fatima. (2016). A comparative study of thermal stresses in the north and south coasts of Iran. *Journal of Community Health Research*, 3(3), pp 1-11. [In Persian]
- Khurshid Dost, Ali Mohammad; Mohammadpour, Kaveh and Beorani, Hossein. (2012). The effect of climate elements and futures on heart attack and asthma diseases in Sanandaj city (2001-2008). *Geographical Space Quarterly*, 13(42), pp 103-125. [In Persian]
- Rezaei, Fereshte. (2017). Standardization of the limit index of heat waves in the hot period of the year based on the climatic conditions of Iran. Doctoral Thesis (Ph.D.). Supervisor: Dr. Mahmoud Ahmadi, Faculty of Earth Sciences, Shahid Beheshti University. [In Persian]
- Barati, Gholamreza; Moradi, Mohammad; Saidinia, Maryam. (1400). A synopsis analysis of cities with record heat in Iran. *Earth Science Research Journal*, 12(2), pp 64-73. [In Persian]
- Bajiyani, Elham; Khairuddin, Reza. (2017). Hierarchical model to evaluate psychological adaptation to achieve thermal comfort and sense of place in urban spaces. *Quarterly Journal of Urban Studies*, 7(28), pp 79-90. [In Persian]
- Falah Qalhari, Gholam Abbas; Miyaneh, Fatima; Shakri, Fahima. (2014). Evaluation of human thermal comfort using global thermal climate index, case study: Kurdistan province. *Journal of Health and Environment*, 8(3), pp 378-367. [In Persian]
- Ghanbari, Yusuf; Barki, Hamid; Ghiyath, Majid; Rozbahani, Reza; Hajarian; Ahmad, Mohammadi, Munireh, Dehdashti, Naimeh Al-Sadat. (2013). Investigating the relationship between the geographical distribution of those who died due to various diseases and climatic factors, a case study of Isfahan province. *Journal of Isfahan Faculty of Medicine*, 29(160), pp 1713-1724. [In Persian]
- Mohammadi, Hossein. (2006). The relationship between climatic elements and futures of Tehran with mortality from heart diseases (study period 1999-2003). *Geographical Research Quarterly*, (58), pp 66-47. [In Persian]
- Yazdan Panah, Hojjatullah; Salehi Fard, Ezri; Gulshahi, Jafar. (2014). Investigating the effect of heat waves on the number of cardiac visits in Bandar Abbas city. *Spatial Planning Quarterly (Geography)*, 5(3), pp 62-45. [In Persian]

### References (in English)

- Baccini, M., Biggeri, A., Accetta, G., Kosatsky, T., Analitis, A., Anderson, HR. (2008). Heat Effects on Mortality in 15 European Cities. *Epidemiology*, 19(5), pp 711-719. [https://doi.org/10.1097/EDE.0b013e318176bfcd PMID: 1852061](https://doi.org/10.1097/EDE.0b013e318176bfcd).
- Basu, R., J. M., Samet. (2002). Relation between elevated ambient temperature and mortality: A review of the epidemiological evidence. *Epidemiol. Rev.*, 24(2), pp 190-202. <https://doi.org/10.1093/epirev/mx007>.
- Blażejczyk, K. (2011). Assessment of regional bioclimatic contrasts in Poland. *Miscellanea Geographica-Regional Studies on Development*, 15(-1), pp 79-91. <https://doi:10.2478/v10288-012-0004-7>.
- , Y., Epstein, G., Jendritzky, H., Staiger, B., Tinz. (2012). Comparison of UTCI to selected thermal indices. *Int. J. Biometeor*, 56(3), pp 515-535. <https://doi.org/10.1007/s00484-011-0453-2>.
- , G., Jendritzky, P., Bröde, D., Fiala, G., Havenith, Y., Epstein, A., Psikuta, B., Kampmann. (2013). An introduction to the universal thermal climate index. *Geogr. Pol.*, 86(1), pp 5-10. <https://doi.org/10.7163/GPol.2013.1>.
- Campbell, S., T. A., Remenyi, C. J., White, F. H., Johnston. (2018). Heatwave and health impact research: A global review. *Health Place*, (53), pp 210-221. <https://doi.org/10.1016/j.healthplace.2018.08.017>.
- Costello, A., et al. (2009). Managing the Health Effects of Climate Change: Lancet and University College London Institute for Global Health Commission. *The Lancet*, (373), pp 1693-1733. [http://dx.doi.org/10.1016/S0140-6736\(09\)60935-1](http://dx.doi.org/10.1016/S0140-6736(09)60935-1)
- Changnon, D., Changnon, S.A. Evaluation of Weather Catastrophe Data for Use in Climate Change Investigations. *Climatic Change* 38, 435–445 (1998). <https://doi.org/10.1023/A:1005348112541>
- Di Napoli, C., F., Pappenberger, H. L., Cloke. (2018). Assessing heat-related health risk in Europe via the universal thermal climate index (UTCI). *Int. J. Biometeor*, (62), pp 1155-1165. <https://doi.org/10.1007/s00484-018-1518-2>.
- , C., F., Pappenberger, H. L., Cloke. (2019). Verification of Heat Stress Thresholds for a Health-Based Heat-Wave Definition. *J. Appl. Meteor. Climatol*, (58), pp 1177-1194. <https://doi.org/10.1175/JAMC-D-18-0246.1>.
- Fischer, E., C., Schär. (2010). Consistent geographical patterns of changes in high-impact European heatwaves. *Nat. Geosci*, 6(3), pp 398-403, <https://doi.org/10.1038/ngeo866>.
- Hancock, PA., Ross JM., Szalma JL. (2007). A meta-analysis of performance response under thermal stressors. *Hum Factors*, 49(5), pp 851-877. DOI: [10.1518/001872007X230226](https://doi.org/10.1518/001872007X230226).
- Havenith, G., D., Fiala. (2016). Thermal indices and thermophysiological modeling for heat stress. *Compr. Physiol.* 6(1), pp 255-302. <https://doi.org/10.1002/cphy.c140051>.
- Heidari, H., Golbabaei, F., Shamsipour, A., Rahimi Forushani, A., Gaeini, A.(2017). The cut-off point for tympanic temperature as a heat strain index for evaluation of outdoor workers: a field study. *Int J Occup Safe Ergonom*. 24(2), pp 224-32. <https://doi.org/10.1080/10803548.2017.1281524>
- Heidari, H., Golbabaei, F., Shamsipour, A., Forushani, AR., Gaeini A. (2015). Outdoor occupational environments and heat stress in IRAN. *J Environ Health Sci Engineer*. 13(1), pp 1. <https://doi.org/10.1186/s40201-015-0199-6>

- Kahya, E. (2007). The effects of job characteristics and working conditions on job performance. *Int J Ind Ergon.* 37(6), pp 515–523. <https://doi.org/10.1016/j.ergon.2007.02.006>
- Klinenberg E. (2002). Heat Wave: A Social Autopsy of Disaster in Chicago.
- McGregor, G., Bessemoulin, P., Ebi, K., Menne, B. (2015). Heatwaves and Health: Guidance on Warning-System Development. World Meteorological Organization, WHO, Geneva, Switzerland. 96 pp.
- , J., Vanos. (2018). Heat: A primer for public health researchers. *Public Health.* 161(23), pp 138–146. <https://doi.org/10.1016/j.puhe.2017.11.005>.
- Murage, P., S. Hajat, R. S., Kovats (2017). Effect of night-time temperatures on cause and age-specific mortality in London. *Environ. Epidemiol.* (2)1. pp e005. <https://doi.org/10.1097/EE9.0000000000000005>.
- Pappenberger, F., G., Jendritzky, H., Staiger, E., Dutra, F., Di Giuseppe, D. S., Richardson, H. L., Cloke (2015). Global forecasting of thermal health hazards: The skill of probabilistic predictions of the universal thermal climate index (UTCI). *Int. J. Biometeor.* (59)3, pp 311–323, <https://doi.org/10.1007/s00484-014-0843-3>.
- Pascal, M., and Coauthors. (2006). France's heat health watch warning system. *Int. J. Biometeor.* 50(3), 144–153. <https://doi.org/10.1007/s00484-005-0003-x>.
- , V., Wagner, A., Le Tertre, K., Laaidi, C., Honoré, F., Bénichou, P., Beaudeau. (2012). Definition of temperature thresholds: The example of the French heat wave warning system. *Int.J. Biometeor.* 57(1), pp 21–29. <https://doi.org/10.1007/s00484-012-0530-1>.
- Perkins, S. E., Alexander, L. V, Nairn, J. R. (2012) Increasing frequency, intensity and duration of observed global heatwaves and warm spells, *Geophys. Res. Lett.* 39(20), pp 20714. <https://doi.org/10.1029/2012GL053361>.
- , L., Alexander. (2013). On the measurement of heatwaves. *J. Climate.* (13)26, pp 4500–4517. <https://doi.org/10.1175/JCLI-D-12-00383.1>.
- Robinson, PJ. (2001). On the definition of a heat wave. *Journal of Applied Meteorology.* 40(4), pp 762–765.
- Tong, S., Wang, X.Y., Barnett, A.G. (2010). Assessment of heat-related health impacts in Brisbane, Australia: comparison of different heatwave definitions. *PLoS One* 5(8), pp e12155. <https://doi.org/10.1371/journal.pone.0012155>
- Semenza, J. C., J. E. McCullough, W.D., Flanders, M.A., McGeehin, J. R., Lumpkin. (1999). Excess hospital admissions during the July 1995 heat wave in Chicago. *Amer. J. Prev. Med.* 16(4), pp 269–277. [https://doi.org/10.1016/S0749-3797\(99\)00025-2](https://doi.org/10.1016/S0749-3797(99)00025-2).
- Sheridan, S., L., Kalkstein. (2004). Progress in heat health warning system technology. *Bull. Amer. Meteor. Soc.* 85(12), pp 1931–1941. <https://doi.org/10.1175/BAMS-85-12-1931>.
- Wagner, V. U. A., C. Calmet, M., Pascal. (2018). Evolution of heat waves and associated mortality in France, 2004–2014. *Bull. Epidemiol. Hebd.* **16–17**, pp 320–325.
- Xu, Z., G. Fitzgerald, Y.Guo, B. Jalaludin, S., Tong. (2016). Impact of the heatwave on mortality under different heatwave definitions: A systematic review and meta-analysis. *Environ. Int.* 89–90, pp 193–203. <https://doi.org/10.1016/j.envint.2016.02.007>.

پژوهشگاه علوم انسانی و مطالعات فرهنگی  
برگال جامع علوم انسانی